

บทที่ 2

ทฤษฎีวิเคราะห์และหลักการจตุรูปฟังก์ชันวิเคราะห์

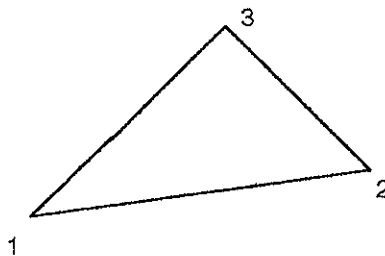
2.1 ไฟไนต์อีลีเมนต์ (Finit Element Method , FEM)

วิธีไฟไนต์อีลีเมนต์เป็นวิธีการวิเคราะห์เชิงตัวเลขที่ใช้สำหรับการแก้สมการเชิงอนุพันธ์และเป็นที่นิยมนำมาใช้ในการงานวิศวกรรม หลักการทั่วไปของวิธีไฟไนต์อีลีเมนต์จะแบ่งโครงสร้างที่ต้องการวิเคราะห์ออกเป็นส่วนย่อยซึ่งได้รับการเรียกว่า ไฟไนต์อีลีเมนต์ ฟังก์ชันที่นำมาแทนอีลีเมนต์จะต้องต่อเนื่อง แต่ละอีลีเมนต์จะโยงกันด้วยจุดต่อ (mode) หรือเส้นขอบหรือผิวรอบอีลีเมนต์สัมผัสกัน และโดยคุณสมบัติของวัสดุที่ใช้ทำโครงสร้างในที่นี้เรายกตัวอย่างเป็นท่อนาคลีนดังนั้นเราสามารถหาการกระจายตัวของสนามแม่เหล็กในท่อนาคลีนที่จุดต่างๆของแต่ละอีลีเมนต์ที่ประกอบเป็นโครงสร้างของท่อนาคลีนได้

ขั้นตอนหลักในการวิเคราะห์ปัญหาด้วยวิธีไฟไนต์อีลีเมนต์มีดังนี้

2.1.1 การแบ่งโดเมนหลักของปัญหาออกเป็นส่วนประกอบย่อย (Discretization or subdivision of the domain)

ในการพิจารณาชิ้นงานหรือวัสดุใดๆที่ต้องการวิเคราะห์นั้นเราจะแทนปริมาตรใดๆที่สนใจด้วย Ω ซึ่งอาจเป็นปริมาตรหรือพื้นที่ผิวใดที่สนใจโดยจะได้รับการเรียกว่า โดเมนหลัก(Domain) ซึ่งโดเมนหลักดังกล่าวนี้จะได้รับการแบ่งเป็นส่วนประกอบย่อยและได้รับการเรียกว่า ส่วนประกอบย่อย หรืออีลีเมนต์



รูปที่ 2.1 อีลีเมนต์ย่อยสามเหลี่ยม

การแบ่งโดเมนมีหลักการคือ

2.1.1.1 การแบ่งโดเมนหลักออกเป็นอีลีเมนต์ย่อยนั้นต้องไม่เกิดช่องว่างระหว่างอีลีเมนต์ย่อย

2.1.1.2 ควรหลีกเลี่ยงการทำให้เกิดอีลีเมนต์ย่อยที่มีพื้นที่ภายในสามเหลี่ยมเล็กมากเนื่องจากจะทำให้เกิดผลเฉลยที่ผิดพลาดหรือคลาดเคลื่อนไปจากผลเฉลยที่ถูกต้องซึ่งผลเฉลยที่ผิดพลาดของวิธีไฟไนต์อีลีเมนต์คือการแปรผันของสัดส่วนของอัตราส่วนภายในสามเหลี่ยมที่เล็กที่สุดเพราะฉะนั้นทุกๆ ส่วนของอีลีเมนต์ย่อยจะทำงานเป็นด้านบิดทุกๆ ด้านเท่ากันและการแบ่งโดเมนหลักต้องการวิเคราะห์ จะต้องคำนึงถึงรูปร่างลักษณะของโครงสร้างเดิม คือแบบจำลองไฟไนต์อีลีเมนต์จะต้องเหมือนหรือสอดคล้องกับโครงสร้างเดิมให้มากที่สุดซึ่งเป็นเหตุให้จำเป็นและนิยมแบ่งอีลีเมนต์ย่อยๆ เป็นสามเหลี่ยม

2.1.1.3 สำหรับการพิจารณาแต่ละอีลีเมนต์ย่อยเราต้องกำหนดตำแหน่งที่ชัดเจนโดยการกำหนดตัวเลขจำนวนเต็มไว้แต่ละส่วนประกอบย่อยนั้นๆ และคล้ายกับการพิจารณาโนด (Node) ที่จุดเชื่อมต่อของแต่ละอีลีเมนต์ย่อยของมุมสามเหลี่ยม โดยที่ส่วนอีลีเมนต์ย่อยแต่ละส่วนจะถูกเชื่อมต่อกันที่โนด ในอีลีเมนต์ย่อยสามเหลี่ยมจะมีโนดสาม โนดซึ่งแต่ละ โนดมีตำแหน่งของตัวเองอยู่ในระบบทั้งหมด

2.1.2 การเลือกฟังก์ชันประมาณค่า (Selection of Interpolation Function)

การเลือกฟังก์ชันประมาณค่านั้น (Interpolation) เป็นการสร้างฟังก์ชันขึ้นมาเพื่อประมาณปริมาณที่ไม่ทราบค่าที่แน่นอนที่อยู่ในอีลีเมนต์ย่อยที่ได้รับการแบ่งจากโดเมนหลักซึ่งโดยปกติสามารถเลือกเอาฟังก์ชันโพลิโนเมียลโดยเป็นกำลังหนึ่ง กำลังสอง รวม กำลังที่สูงขึ้นไปแม้ว่าจะได้ผลเฉลยที่แม่นยำมากแต่มีรูปแบบฟังก์ชันที่ซับซ้อนมาก ดังนั้นจึงมักเลือกใช้ฟังก์ชันแบบง่ายๆ โดยที่เราสามารถแสดงปริมาณที่ไม่ทราบค่าที่อยู่ในส่วนประกอบย่อย (e) ได้ดังนี้

$$\tilde{\phi}^e = \sum_{j=1}^n N_j^e \phi_j^e = \{N^e\}^T \{\phi^e\} = \{\phi^e\}^T \{N^e\} \quad (2.1)$$

โดยที่

ϕ คือปริมาณที่ต้องการสร้างฟังก์ชันประมาณค่า

n คือจำนวน โนดในอีลีเมนต์ย่อย

ϕ_j^e คือค่าของ ϕ ที่โนด j ของอีลีเมนต์ย่อย

N_j^e คือเป็นปริมาณที่ทราบค่าและเป็นค่าของฟังก์ชันหลัก

2.1.3 รูปแบบของระบบสมการ (Formulation of the system of equations)

ขั้นตอนที่สามนั้นเป็นขั้นตอนสำคัญของวิธีไฟไนต์อีลิเมนต์โดยเป็นขั้นตอนที่ทำให้ได้มาซึ่งสูตรของระบบสมการ โดยหลักการแปรผันของริทซ์ (Ritz variational) และ วิธีของกาเลอร์กิน (Galerkin method) ซึ่งเป็นหลักการที่ความมุ่งหมายที่คล้ายกัน โดยมีรายละเอียดดังนี้

2.1.3.1 หลักการแปรผันของริทซ์

โดยหลักการของริทซ์นั้นจะแสดงฟังก์ชันของปัญหาอยู่ในรูปดังสมการ (2.2)

$$F\{\tilde{\phi}\} = \sum_{e=1}^M F^e(\tilde{\phi}^e)$$

$$F^e(\tilde{\phi}^e) = \frac{1}{2} \int_{\Omega^e} \tilde{\phi}^e L \phi^e d\Omega - \int_{\Omega^e} f \tilde{\phi}^e d\Omega \quad (2.3)$$

เมื่อแทน (2.1) ในสมการ (2.3) จะได้สมการที่ (2.4) ดังนี้

$$F^e = \frac{1}{2} \{\phi^e\}^T [K^e] \{\phi^e\} - \{\phi^e\}^T \{b^e\} \quad (2.4)$$

$$K_{ij}^e = \int_{\Omega^e} N_i^e L N_j^e d\Omega \quad (2.5)$$

$$\{b_i^e\} = \int_{\Omega^e} f N_i^e d\Omega \quad (2.6)$$

M คือจำนวนของอีลิเมนต์ย่อย

$[K^e]$ คือเมทริกซ์สมมาตรขนาด $n \times n$

$\{b^e\}$ คือ $n \times 1$ เวกเตอร์หลัก

L คือกระทำการ (self-adjoint)

เมื่อแทนสมการ (2.4) ในสมการ (2.1) จะได้สมการ (2.7) หลังจากนั้นจัดรูปฟังก์ชัน (2.7) ได้สมการ (2.8)

$$F(\tilde{\phi}) = \sum_{e=1}^M \left(\frac{1}{2} \{\phi^e\}^T [K^e] \{\phi^e\} - \{\phi^e\}^T \{b^e\} \right) \quad (2.7)$$

$$\{R^e\} = [K^e]\{\phi^e\} - \{b^e\} \quad (1.14)$$

โดยที่

$$\{R^e\} = [R_1^e, R_2^e, \dots, R_n^e]$$

$[K^e]$ ไม่จำเป็นต้องเป็นเมทริกซ์สมมาตร

โดยใช้ความสัมพันธ์ของแต่ละอีลีเมนต์ย่อยซึ่งแต่ละอีลีเมนต์ย่อยเชื่อมกันด้วยโนดที่กล่าวมาแล้วในตอนต้นกับโดเมนหลักซึ่งอาจพูดได้ว่าเป็นความสัมพันธ์ของ Global กับ Local และการรวมอีลีเมนต์ย่อยทำให้ได้สมการมาหนึ่งสมการและโดยอาศัยหลักการพาเชียลดิฟเฟอเรนเชียล (partial differential) คล้ายกับการได้มาของสมการที่ (2.12) ทำให้ได้สมการ (2.15) ดังนี้

$$\sum_{e=1}^M ([K^e]\{\phi^e\} - \{b^e\}) = \{0\} \quad (2.15)$$

2.1.4 การแก้ปัญหาของระบบสมการ (Solution of the System of Equation)

การวิเคราะห์ปัญหาโดยการแก้ปัญหของระบบสมการเป็นขั้นตอนสุดท้ายของการวิเคราะห์ด้วยวิธีไฟไนต์อีลีเมนต์ซึ่งผลของการวิเคราะห์จะปรากฏในรูปของสมการที่ (2.16) และ (2.17) แบบใดแบบหนึ่งดังนี้

$$[K]\{\phi\} = \{b\} \quad (2.16)$$

หรือ

$$[A]\{\phi\} = \lambda[B]\{\phi\} \quad (2.17)$$

$[K]$ สามารถเขียนเป็น $[A] - \lambda[B]$ ได้

$\{b\}$ คือเวกเตอร์ที่ไม่ทราบค่า

λ แสดงตัวแปรค่าไอเกน (eigenvalues) ที่ไม่ทราบค่า

ซึ่งในการคำนวณค่าที่ต้องการสามารถทำได้โดยการแทนค่าต่างที่เกี่ยวข้องในสมการการวิเคราะห์และประกอบกับขั้นตอนทั้งสี่ขั้นที่กล่าวมาแล้วทำให้สามารถคำนวณค่าที่ต้องการออกมาได้

2.2 สนามแม่เหล็ก 3 องค์ประกอบ

การวิเคราะห์ท่อนำคลื่นโดยใช้วิธีไฟไนต์อีลีเมนต์นั้นที่โดยประมาณ 30 ปีผ่านมามีผู้ทำการศึกษาวิจัยมาแล้วมากมาย อาทิ

Koshiba และคณะ (1985) ได้เสนอการวิเคราะห์ท่อนำคลื่นโดยใช้สนามแม่เหล็ก 3 องค์ประกอบ ร่วมกับฟังก์ชันที่ใช้ในการกำจัดผลเฉลยปลอมเทียม ที่เรียกว่า ฟังก์ชันพินอคติซึ่งเป็นฟังก์ชันที่อยู่ในรูปความหนาแน่นฟลักซ์ รวมถึงเสนอข้อดีข้อเสียของการทำงานของฟังก์ชันไว้ด้วย

Hayata, Koshiba และ Suzuki (1984) ได้เสนอการวิเคราะห์ ท่อนำคลื่น โดยใช้วิธีไฟไนต์อีลีเมนต์โดยใช้สนามไฟฟ้า และสนามแม่เหล็กอย่างละ 1 องค์ประกอบ

Hayata, Koshiba, Eguchi และ Suzuki (1986) Chew และ Nasir (1989) Lu และ Fernandez (1993) ได้เสนอวิธีการวิเคราะห์ท่อนำคลื่นโดยใช้สนามตามขวาง 2 องค์ประกอบและเสนอวิธีการกำจัดผลเฉลยปลอมเทียม โดยการบังคับเงื่อนไขโคเวอเรนซ์เท่ากับศูนย์

Svendin (1989) เสนอวิธีวิเคราะห์ท่อนำคลื่นแบบแอนไอโซทรอปิกโดยใช้สนามแม่เหล็ก 3 องค์ประกอบและสนามไฟฟ้า 3 องค์ประกอบ ร่วมกับเงื่อนไขขอบเขตบนรอยต่อที่มีตัวกลางไม่ต่อเนื่อง โดยที่ Svendin แสดงให้เห็นว่า ผลที่ได้ไม่มีการปรากฏของผลเฉลยปลอมเทียม แม้ว่าไม่มีการบังคับเงื่อนไขโคเวอเรนซ์เท่ากับศูนย์ แต่วิธีนี้มีข้อเสียคือมีการใช้ตัวแปรไม่ทราบค่าถึง 6 ตัวต่อหนึ่งอีลีเมนต์

ซึ่งหลักการของการใช้สนามแม่เหล็ก 3 องค์ประกอบในการวิเคราะห์ก็คือการแทนเวกเตอร์สนามแม่เหล็ก 3 แกนในระบบสมการที่นำไปใช้วิเคราะห์ระบบนั่นเอง

2.3 ท่อนำคลื่น (Wave guide)

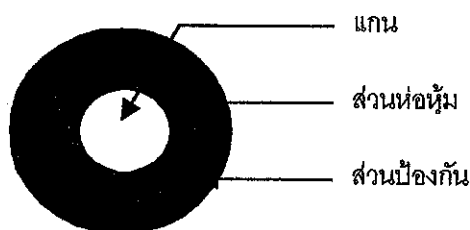
ในปี พ.ศ. 2509 นักวิทยาศาสตร์ชาวสหราชอาณาจักร ชื่อ ฮอคแคม (G.A. Hockham) และ (C.C. Kao) ได้ทำการวิจัยว่าตัวกลางที่ทำด้วยใยแก้วนำแสงสามารถส่งแสงได้ 1% ของ แสงอินพุตด้วยระยะทาง 1 กิโลเมตร จนปัจจุบันทำให้สามารถมีใยแก้วนำแสงที่มีการส่งผ่านแสงได้อย่างมีประสิทธิภาพ หรือมีการสูญเสียต่ำได้ซึ่งใยแก้วบางชนิดมีการสูญเสียต่ำมากเพียง 0.1 เดซิเบลต่อกิโลเมตรเท่านั้นและใช้เป็นวัสดุทำท่อนำคลื่น

2.3.1 โครงสร้างของท่อนำคลื่น

ส่วนประกอบของท่อนำคลื่นที่สำคัญ คือส่วนที่เป็นแกน (core) โดยดัชนีหักเหของแสงที่ส่วนนี้ต้องมีค่ามากกว่าส่วนที่เป็นเปลือกโดยเปลือกคือส่วนที่กั้นทำหน้าที่เป็นฉนวนโปร่งใสแล้วลำแสงที่ผ่านไปแกนจะถูกควบคุมให้เคลื่อนที่ไปตามเส้นใยแก้วนำแสงด้วยขบวนการสะท้อนกลับหมดภายใน

2.3.2 ส่วนป้องกันหรือส่วนห่อหุ้ม

เป็นส่วนที่ต่อจากแคลคเป็นที่กันแสงจากภายนอกเข้าเส้นใยแก้วนำแก้วและกันแสงภายในออกข้างนอกและยังใช้ประโยชน์เมื่อมีการเชื่อมต่อเส้นใยแก้วนำแสงและทำหน้าที่เป็นส่วนป้องกันภายนอกอีกด้วย

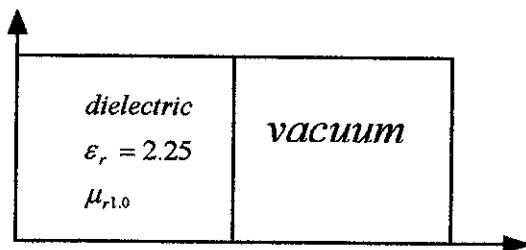


รูป 2.2 แสดงส่วนประกอบของท่อนำคลื่น

2.3.3 สำหรับท่อนำคลื่นที่ได้รับการเลือกเป็นตัวอย่างปัญหาในการวิเคราะห์ก็คือ

2.3.3.1 ท่อนำคลื่นที่บรรจุด้วยไดอิเล็กตริก

ซึ่งเป็นตัวอย่างของท่อนำคลื่นแบบไอโซทรอปิกไม่เอกพันธ์ซึ่งเป็นตัวอย่างของปัญหาที่นิยมใช้กันอย่างแพร่หลาย ซึ่งภายในบรรจุด้วยไดอิเล็กตริกล้อมรอบด้วยตัวนำไฟฟ้าสมบูรณ์แบบ โดยที่ลักษณะของไดอิเล็กตริกทุกชนิดสามารถสะสมพลังงานได้ซึ่งเกิดจากการที่ประจุบวกและประจุลบของอะตอมเคลื่อนขยับจากปกติและครึ่งหนึ่งของท่อนำคลื่นที่บรรจุด้วยไดอิเล็กตริกที่มีสภาพยอมสัมพัทธ์ ϵ_r และความขยับได้สัมพัทธ์ μ_r เท่ากับ 2.25 และ 1.0 ตามลำดับ



รูป 2.3 แสดงท่อนำคลื่นที่บรรจุด้วยไดอิเล็กตริก

2.2 สนามแม่เหล็ก 3 องค์ประกอบ

การวิเคราะห์ท่อนำคลื่นโดยใช้วิธีไฟไนต์อีลีเมนต์นั้นที่โดยประมาณ 30 ปีผ่านมามีผู้ทำการศึกษาวิจัยมาแล้วมากมาย อาทิ

Koshiba และคณะ (1985) ได้เสนอการวิเคราะห์ท่อนำคลื่นโดยใช้สนามแม่เหล็ก 3 องค์ประกอบ ร่วมกับฟังก์ชันที่ใช้ในการกำจัดผลเฉลยปลอมเทียม ที่เรียกว่า ฟังก์ชันพินอลติซึ่งเป็นฟังก์ชันที่อยู่ในรูปความหนาแน่นฟลักซ์ รวมถึงเสนอข้อดีข้อเสียของการใช้งานฟังก์ชันไว้ด้วย

Hayata, Koshiba และ Suzuki (1984) ได้เสนอการวิเคราะห์ ท่อนำคลื่น โดยใช้วิธีไฟไนต์อีลีเมนต์โดยใช้สนามไฟฟ้า และสนามแม่เหล็กอย่างละ 1 องค์ประกอบ

Hayata, Koshiba, Eguchi และ Suzuki (1986) Chew และ Nasir (1989) Lu และ Fernandez (1993) ได้เสนอวิธีการวิเคราะห์ท่อนำคลื่นโดยใช้สนามตามขวาง 2 องค์ประกอบและเสนอวิธีการกำจัดผลเฉลยปลอมเทียม โดยการบังคับเงื่อนไขไดเวอร์เจนซ์เท่ากับศูนย์

Svendin (1989) เสนอวิธีวิเคราะห์ท่อนำคลื่นแบบแอนไอโซทรอปิกโดยใช้สนามแม่เหล็ก 3 องค์ประกอบและสนามไฟฟ้า 3 องค์ประกอบ ร่วมกับเงื่อนไขขอบเขตบนรอยต่อที่มีตัวกลางไม่ต่อเนื่อง โดยที่ Svendin แสดงให้เห็นว่า ผลที่ได้ไม่มีการปรากฏของผลเฉลยปลอมเทียม แม้ว่าไม่มีการบังคับเงื่อนไขไดเวอร์เจนซ์เท่ากับศูนย์ แต่วิธีนี้มีข้อเสียคือมีการใช้ตัวแปรไม่ทราบค่าถึง 6 ตัวต่อหนึ่งอีลีเมนต์

ซึ่งหลักการของการใช้สนามแม่เหล็ก 3 องค์ประกอบในการวิเคราะห์ก็คือการแทนเวกเตอร์สนามแม่เหล็ก 3 แกนในระบบสมการที่นำไปใช้วิเคราะห์ระบบนั่นเอง

2.3 ท่อนำคลื่น (Wave guide)

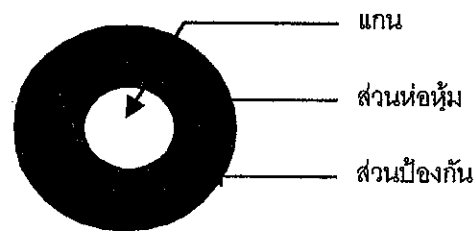
ในปี พ.ศ. 2509 นักวิทยาศาสตร์ชาวสหราชอาณาจักร ชื่อ ฮอคแคม (G.A. Hockham) และ (C.C. Kao) ได้ทำการวิจัยว่าตัวกลางที่ทำด้วยใยแก้วนำแสงสามารถส่งแสงได้ 1% ของ แสงอินฟราเรดด้วยระยะทาง 1 กิโลเมตร จนปัจจุบันทำให้สามารถมีใยแก้วนำแสงที่มีการส่งผ่านแสงได้อย่างมีประสิทธิภาพ หรือมีการสูญเสียต่ำได้ซึ่งใยแก้วนำชนิดมีการสูญเสียต่ำมากเพียง 0.1 เดซิเบลต่อกิโลเมตรเท่านั้นและใช้เป็นวัสดุทำท่อนำคลื่น

2.3.1 โครงสร้างของท่อนำคลื่น

ส่วนประกอบของท่อนำคลื่นที่สำคัญ คือส่วนที่เป็นแกน (core) โดยดัชนีหักเหของแสงที่ส่วนนี้ต้องมีค่ามากกว่าส่วนที่เป็นเปลือก โดยเปลือกคือส่วนที่กั้นทำหน้าที่เป็นฉนวนโปร่งใสแล้วถ้าแสงที่ผ่านไปในแกนจะถูกควบคุมให้เคลื่อนที่ไปตามเส้นใยแก้วนำแสงด้วยขบวนการสะท้อนกลับหมดภายใน

2.3.2 ส่วนป้องกันหรือส่วนท่อดำ

เป็นส่วนที่ต่อจากแคลคเป็นท่อกันแสงจากภายนอกเข้าเส้นใยแก้วนำแก้วและกันแสงภายในออกข้างนอกและยังใช้ประโยชน์เมื่อมีการเชื่อมต่อเส้นใยแก้วนำแสงและทำหน้าที่เป็นส่วนป้องกันภายนอกอีกด้วย

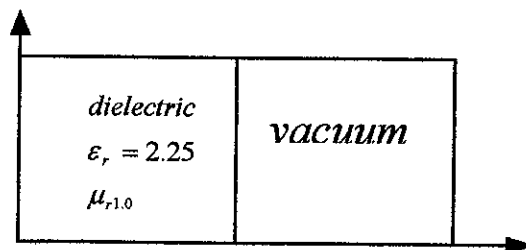


รูป 2.2 แสดงส่วนประกอบของท่อนำคลื่น

2.3.3 สำหรับท่อนำคลื่นที่ได้รับการเลือกเป็นตัวอย่างปัญหาในการวิเคราะห์คือ

2.3.3.1 ท่อนำคลื่นที่บรรจุด้วยไดอิเล็กตริก

ซึ่งเป็นตัวอย่างของท่อนำคลื่นแบบไอโซทรอปิก ไม่เอกพันธ์ซึ่งเป็นตัวอย่างของปัญหาที่นิยมใช้กันอย่างแพร่หลาย ซึ่งภายในบรรจุด้วยไดอิเล็กตริกล้อมรอบด้วยตัวนำไฟฟ้าสมบูรณ์แบบ โดยที่ลักษณะของ ไดอิเล็กตริกทุกชนิดสามารถสะสมพลังงานได้ซึ่งเกิดจากการที่ประจุบวกและประจุลบของอะตอมเคลื่อนขยับจากปกติและครึ่งหนึ่งของท่อนำคลื่นที่บรรจุด้วยไดอิเล็กตริกที่มีสภาพยอมสัมพัทธ์ ϵ_r และความซาบซึมได้สัมพัทธ์ μ_r เท่ากับ 2.25 และ 1.0 ตามลำดับ



รูป 2.3 แสดงท่อนำคลื่นที่บรรจุด้วยไดอิเล็กตริก

2.2 สนามแม่เหล็ก 3 องค์ประกอบ

การวิเคราะห์ท่อนำคลื่นโดยใช้วิธีไฟไนต์อีลิเมนต์นั้นที่โดยประมาณ 30 ปีผ่านมามีผู้ทำการศึกษาวิจัยมาแล้วมากมาย อาทิ

Koshiba และคณะ (1985) ได้เสนอการวิเคราะห์ท่อนำคลื่นโดยใช้สนามแม่เหล็ก 3 องค์ประกอบ ร่วมกับฟังก์ชันที่ใช้ในการกำจัดผลเฉลยปลอมเทียม ที่เรียกว่า ฟังก์ชันพินอลติซึ่งเป็นฟังก์ชันที่อยู่ในรูปความหนาแน่นฟังก์ชัน รวมถึงเสนอข้อดีข้อเสียของการใช้งานฟังก์ชันไว้ด้วย

Hayata, Koshiba และ Suzuki (1984) ได้เสนอการวิเคราะห์ ท่อนำคลื่น โดยใช้วิธีไฟไนต์อีลิเมนต์โดยใช้สนามไฟฟ้า และสนามแม่เหล็กอย่างละ 1 องค์ประกอบ

Hayata, Koshiba, Eguchi และ Suzuki (1986) Chew และ Nasir (1989) Lu และ Fernandez (1993) ได้เสนอวิธีการวิเคราะห์ท่อนำคลื่นโดยใช้สนามตามขวาง 2 องค์ประกอบและเสนอวิธีการกำจัดผลเฉลยปลอมเทียม โดยการบังคับเงื่อนไขไดเวอร์เจนซ์เท่ากับศูนย์

Svendin (1989) เสนอวิธีวิเคราะห์ท่อนำคลื่นแบบแอนไอโซทรอปิกโดยใช้สนามแม่เหล็ก 3 องค์ประกอบและสนามไฟฟ้า 3 องค์ประกอบ ร่วมกับเงื่อนไขขอบเขตบนรอยต่อที่มีตัวกลางไม่ต่อเนื่อง โดยที่ Svendin แสดงให้เห็นว่า ผลที่ได้ไม่มีการปรากฏของผลเฉลยปลอมเทียม แม้ว่าไม่มีการบังคับเงื่อนไขไดเวอร์เจนซ์เท่ากับศูนย์ แต่วิธีนี้มีข้อเสียคือมีการใช้ตัวแปรไม่ทราบค่าถึง 6 ตัวต่อหนึ่งอีลิเมนต์

ซึ่งหลักการของการใช้สนามแม่เหล็ก 3 องค์ประกอบในการวิเคราะห์ก็คือการแทนเวกเตอร์สนามแม่เหล็ก 3 แกนในระบบสมการที่นำไปใช้วิเคราะห์ระบบนั่นเอง

2.3 ท่อนำคลื่น (Wave guide)

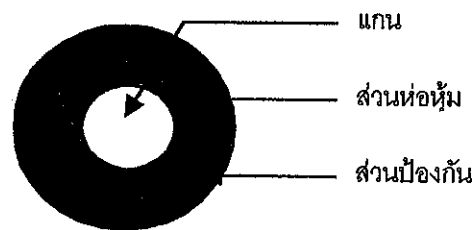
ในปี พ.ศ 2509 นักวิทยาศาสตร์ชาวสหราชอาณาจักร ชื่อ ฮอคแคม (G.A.Hockham) และ (C.C.Kao) ได้ทำการวิจัยว่าตัวกลางที่ทำด้วยใยแก้วนำแสงสามารถส่งแสงได้ 1% ของ แสงอินฟราเรดระยะทาง 1 กิโลเมตร จนปัจจุบันทำให้สามารถมีใยแก้วนำแสงที่มีการส่งผ่านแสงได้อย่างมีประสิทธิภาพ หรือมีการสูญเสียต่ำได้ซึ่งใยแก้วบางชนิดมีการสูญเสียต่ำมากถึงเพียง 0.1 เดซิเบลต่อกิโลเมตรเท่านั้นและใช้เป็นวัสดุทำท่อนำคลื่น

2.3.1 โครงสร้างของท่อนำคลื่น

ส่วนประกอบของท่อนำคลื่นที่สำคัญ คือส่วนที่เป็นแกน(core) โดยดัชนีหักเหของแสงที่ส่วนนี้ต้องมีค่ามากกว่าส่วนที่เป็นเปลือกโดยเคลดคือส่วนที่กั้นทำหน้าที่เป็นฉนวน โปรงใสแล้วลำแสงที่ผ่านไปแกนจะถูกควบคุมให้เคลื่อนที่ไปตามเส้นใยแก้วนำแสงด้วยขบวนการสะท้อนกลับหมดภายใน

2.3.2 ส่วนป้องกันหรือส่วนห่อหุ้ม

เป็นส่วนที่ต่อจากเคลดเป็นที่กันแสงจากภายนอกเข้าเส้นใยแก้วนำแก้วและกันแสงภายในออกข้างนอกและยังใช้ประโยชน์เมื่อมีการเชื่อมต่อเส้นใยแก้วนำแสงและทำหน้าที่เป็นส่วนป้องกันภายนอกอีกด้วย

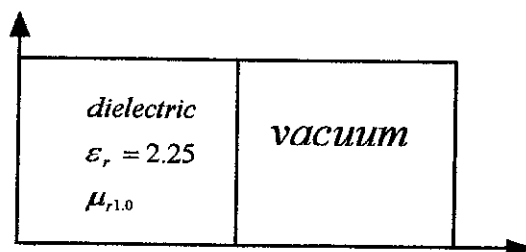


รูป 2.2 แสดงส่วนประกอบของท่อนาคลีน

2.3.3 สำหรับท่อนาคลีนที่ได้รับการเลือกเป็นตัวอย่างปัญหาในการวิเคราะห์คือ

2.3.3.1 ท่อนาคลีนที่บรรจุด้วยไดอิเล็กตริก

ซึ่งเป็นตัวอย่างของท่อนาคลีนแบบไอโซทรอปิกไม่เอกพันธ์ซึ่งเป็นตัวอย่างของปัญหาที่นิยมใช้กันอย่างแพร่หลาย ซึ่งภายในบรรจุด้วยไดอิเล็กตริกล้อมรอบด้วยตัวนำไฟฟ้าสมบูรณ์แบบโดยที่ลักษณะของไดอิเล็กตริกทุกชนิดสามารถสะสมพลังงานได้ซึ่งเกิดจากการที่ประจุบวกและประจุลบของอะตอมเคลื่อนขยับจากปกติและครึ่งหนึ่งของท่อนาคลีนที่บรรจุด้วยไดอิเล็กตริกที่มีสภาพยอมสัมพัทธ์ ϵ_r และความซบซิมได้สัมพัทธ์ μ_r เท่ากับ 2.25 และ 1.0 ตามลำดับ



รูป 2.3 แสดงท่อนาคลีนที่บรรจุด้วยไดอิเล็กตริก

2.3.3.2 ท่อนำแสงแบบฝังในฉับสเตรท

ท่อนำแสงแบบฝังในฉับสเตรทซึ่งประกอบด้วยแกน (core) ฝังในฉับสเตรท(substrate) และด้านบนของแกนเป็นอากาศว่าง ซึ่งเป็นตัวอย่างของท่อนำแสงแบบแอนไอโซทรอปิกไฟฟ้า ที่เทนเซอร์ $[\epsilon]$ อยู่ในรูปของ

$$[\epsilon] = \begin{bmatrix} \epsilon_{xx} & 0 & 0 \\ 0 & \epsilon_{yy} & 0 \\ 0 & 0 & \epsilon_{zz} \end{bmatrix} \text{ และ } [\epsilon] = \begin{bmatrix} \epsilon_{xx} & \epsilon_{xy} & 0 \\ \epsilon_{yx} & \epsilon_{yy} & 0 \\ 0 & 0 & \epsilon_{zz} \end{bmatrix} \quad (2.18)$$

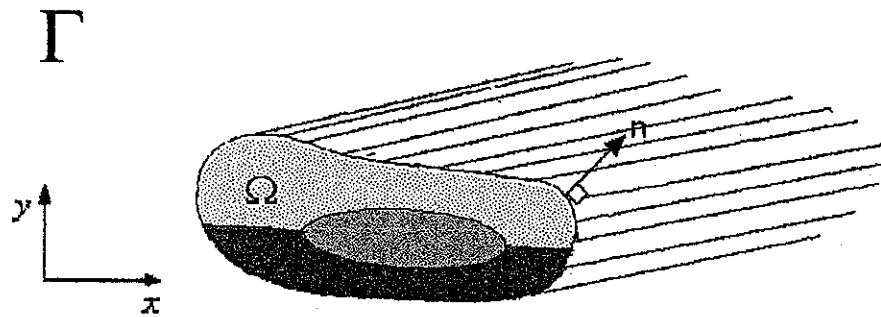
2.4 โปรแกรม Matlab

Matlab เป็นโปรแกรมที่มีความสามารถในการคำนวณ, วิเคราะห์ และแสดงกราฟฟิก 3 มิติได้รับความนิยมใช้งานกันอย่างแพร่หลาย ซึ่งการสั่งการทำงานของโปรแกรมจะมีความยืดหยุ่นสูงและคำสั่งที่ง่ายต่อการเรียนรู้ ทำให้สามารถรองรับคำสั่งที่เกิดจากการเขียนโปรแกรมสั่งการทำงานได้อย่างมีประสิทธิภาพมาก โดยพอจะสรุปฟังก์ชันการทำงานหลักๆ ที่จำเป็นในการเขียนโปรแกรมสั่งการทำงานเพื่อวิเคราะห์ท่อนำคลื่นได้ อาทิเช่น ฟังก์ชันที่มีความสามารถในการแก้ปัญหาคณิตศาสตร์ ฟังก์ชันการหาค่าทางเมทริกซ์ขั้นสูง สามารถแสดงผลการวิเคราะห์เป็นกราฟฟิก 2 มิติและ 3 มิติได้ดี ส่วนรายละเอียดผู้สนใจสามารถค้นคว้าเพิ่มเติมจากคู่มือ โปรแกรม Matlab ทั่วไป โปรแกรมหลักในการวิเคราะห์แสดงไว้ในภาคผนวก การทำงานของโปรแกรมหลักจะเรียกฟังก์ชันที่สร้างไว้ในโปรแกรมย่อยมาใช้ในการคำนวณค่าเมื่อผู้ใช้งานโปรแกรมพิมพ์ข้อถูกต้องตามสถานะที่ผู้ออกแบบโปรแกรมสร้างฟังก์ชันไว้ แต่ถ้ามีข้อผิดพลาดใดๆ โปรแกรมแสดงสภาพเดิมอีกครั้งจะโดยฟังก์ชันหลักจะได้รับการสร้างให้มีการแสดงสถานะเพื่อโต้ตอบกับผู้ใช้งานโปรแกรม

2.5 นิพจน์แปรผัน (Variational Expression)

นิพจน์แปรผัน คือ ฟังก์ชันที่แปรผันค่าตามปริมาณใดปริมาณหนึ่ง สำหรับการในโครงงานนี้นิพจน์แปรผันของสมการการวิเคราะห์สนามแม่เหล็กจะแปรผันตามระยะห่างในทิศทางตามแนวพิกัด x, y

Koshiba และคณะ ได้เสนอวิธีการวิเคราะห์ท่อนำคลื่นที่ไม่มีการสูญเสียและมีภาคตัดขวางรูปทรงใดๆ Ω ในระนาบ xy ดังแสดงในรูป



รูป 2.4 แสดงท่อนำคลื่นที่มีภาคตัดขวางรูปใดๆ และมีความสม่ำเสมอในแกน z

ท่อนำคลื่นประกอบด้วยตัวกลางที่มีสภาพยอมอยู่ในรูปเทนเซอร์ $[\mathcal{E}]$ และความซาบซึมได้ (μ) อยู่ในรูปสเกลาร์ คลื่นแม่เหล็กไฟฟ้าที่เดินทางในท่อนำคลื่นสามารถวิเคราะห์ได้จากสมการคลื่นที่อยู่ในรูปสนามแม่เหล็ก (H) ดังนี้

$$\nabla \times ([\epsilon_r]^{-1} \nabla \times H) - k_0^2 \mu_r H = 0 \quad (2.19)$$

$$[\epsilon_r] = \frac{1}{\epsilon_0} [\epsilon] \quad (2.20)$$

$$\mu_r = \mu / \mu_0 \quad (2.21)$$

เมื่อ $k_0 = \omega \sqrt{\mu_0 \epsilon_0}$ คือเวฟเนंबเบอร์ของอวกาศว่าง

$[\epsilon]$ คือ เทนเซอร์สภาพยอมของตัวกลาง

μ คือ ความซาบซึมได้ของตัวกลาง

$[\epsilon_r]$ คือ เทนเซอร์สภาพยอมสัมพัทธ์ของตัวกลาง

μ_r คือ ความซาบซึมได้สัมพัทธ์ของตัวกลาง

$[\epsilon_0]$ คือ เทนเซอร์สภาพยอมสัมพัทธ์ของอวกาศ

μ_0 คือ ความซาบซึมได้สัมพัทธ์ของอวกาศ

2.6 เงื่อนไขขอบเขตและการพิจารณาฟังก์ชัน

การพิจารณาฟังก์ชันในการวิเคราะห์ท่อนำคลื่นนั้นเราจะพิจารณาโดยมีเงื่อนไขขอบเขตดังต่อไปนี้

- first kind คือ ผิวตัวนำแม่เหล็กสมบูรณ์แบบ (perfect magnetic conductor) Γ_m

$$n \times H = 0 \quad \text{บนขอบเขต } \Gamma_m \quad (2.22)$$

- second kind คือ ผิวตัวนำไฟฟ้าสมบูรณ์แบบ (perfect Electric conductor) Γ_e

$$n \times (\epsilon_r \nabla \times H) = 0 \quad \text{บนขอบเขต } \Gamma_e \quad (2.23)$$

เงื่อนไขที่ถูกกำหนดขึ้นนั้นจะได้รับการนำมาใช้ในการลดรูปฟังก์ชันวิเคราะห์ซึ่งรายละเอียดในการลดรูปฟังก์ชันจะแสดงไว้ในหัวข้อต่อไป

2.7 การจัดรูปสมการการวิเคราะห์ท่อ

การจัดรูปสมการการวิเคราะห์ที่มีคุณสมบัติเป็นนิพจน์แปรผันของสมการคลื่นในรูปแบบสนามแม่เหล็กเมื่อพิจารณาสมการคลื่นแม่เหล็กไฟฟ้าที่เดินทางในท่อตามสมการที่ (2.19) และโดยอาศัยวิธีของวิธีนิพจน์แปรผันในสมการที่ (2.19) สามารถเขียนได้ดังสมการ (2.24)

$$F = \langle L\bar{H}, \bar{H} \rangle = \iiint_{\Omega} (\nabla \times (\epsilon_r \nabla \times \bar{H}) - k_0^2 \bar{H}) \cdot \bar{H}^* d\Omega \quad (2.24)$$

โดย

$$L = \nabla \times (\epsilon_r \nabla \times) - k_0^2 \quad (2.25)$$

F แสดงถึงฟังก์ชัน

\bar{H} แสดงถึงเวกเตอร์สนามแม่เหล็ก

$d\Omega$ แสดงถึงปริมาณเล็กๆใดที่เราสนใจพิจารณา

จากนั้นอาศัยทฤษฎีของกรีนส์จตุรพหุฟังก์ชันใหม่ดังนี้

จาก Second vector Green's theorem(๒.25)จะได้ว่า (2.25)

$$\begin{aligned} \langle L\bar{H}, \bar{H} \rangle &= \iiint_{\Omega} \bar{H} \cdot (\nabla \times [\epsilon_r]^{-1} \nabla \times \bar{H}^*) d\Omega \\ &+ \iint_S \epsilon_r^{-1} (\bar{H} \times \nabla \times \bar{H}^*) \cdot \hat{n} dS \\ &- \iint_S \epsilon_r^{-1} (\bar{H}^* \times \nabla \times \bar{H}) \cdot n dS \\ &- \iiint_{\Omega} k_0^2 \bar{H} \bar{H}^* d\Omega \end{aligned} \quad (2.26)$$

ภายใต้เงื่อนไขขอบเขตการพิจารณาฟังก์ชัน โดย first kind และ second kind จะได้ว่า

$$\iint_S \epsilon_r^{-1} (\bar{H} \times \nabla \times \bar{H}^*) \cdot \hat{n} dS = -\iint_S \epsilon_r^{-1} (\bar{H}^* \times \nabla \times \bar{H}) \cdot n dS = 0 \quad (2.27)$$

ในสมการที่ (2.22), (2.23) ตามลำดับ สามารถจัดรูปสมการ (2.26) จัดรูปได้ดังสมการ (2.28)

$$F = \langle L\bar{H}, \bar{H} \rangle = \iiint_{\Omega} \bar{H} \cdot (\nabla \times [\epsilon_r]^{-1} \nabla \times \bar{H}^*) d\Omega - \iiint_{\Omega} k_0^2 \bar{H} \bar{H}^* d\Omega \quad (2.28)$$

ทำให้ได้ว่า

$$F(H) = \partial F = \langle L\bar{H}, \bar{H} \rangle = \iint_{\Omega} \bar{H} \cdot (\nabla \times [\epsilon_r]^{-1} \nabla \times \bar{H}^*) d\Omega - \iint_{\Omega} k_0^2 \bar{H} \cdot \bar{H}^* d\Omega \quad (2.29)$$

จากที่ผ่านมาทำให้เราทราบว่านิพจน์แปรผันของสมการ (2.19) สามารถเขียนได้ดังสมการที่ (2.30)

$$F(H) = \iint_{\Omega} [(\nabla \times H)^* \cdot ([\epsilon_r]^{-1} \nabla \times H) - k_0^2 \mu_r H^* \cdot H] d\Omega \quad (2.30)$$

เมื่อ * คือสังยุคเชิงซ้อน (complex conjugate)

ผลเฉลย H ที่สอดคล้องกับสมการ (2.30) และเงื่อนไขขอบเขตของท่อนำคลื่นนี้เป็นฟังก์ชันซึ่งทำให้ค่าของ F(H) ในสมการ(2.30) มีค่าต่ำสุด

เมื่อใช้นิพจน์แปรผันในสมการ (2.30) วิเคราะห์ที่ซ่อนเร้นพบว่า มีการปรากฏของผลเฉลยปลอมที่เชื่อมร่วมกับผลเฉลยที่ถูกต้องซึ่งผลเฉลยปลอมที่เกิดขึ้นมีคุณลักษณะคือ ความหนาแน่นฟลักซ์แม่เหล็ก (B) ไม่สอดคล้องกับกฎของเกาส์ หรือเงื่อนไขโคเวอเรนซ์ต้องเป็นศูนย์ $\nabla \cdot B = 0$ และผลเฉลยปลอมที่เกิดขึ้นนี้สามารถแยกได้เป็น 2 กลุ่ม คือผลเฉลยปลอมที่เชื่อม S_1

ที่มีคุณลักษณะสอดคล้องกับสมการ

$$\begin{aligned} \nabla \times H &= 0 & \text{ที่ } k_0^2 &= 0 & (2.31) \\ \nabla \cdot \mu H &\neq 0 \end{aligned}$$

และผลเฉลยปลอมที่เชื่อม S_2 ที่มีคุณลักษณะสอดคล้องกับสมการ

$$\begin{aligned} \nabla \times H &\neq 0 & \text{ที่ } k_0^2 &> 0 & (2.32) \\ \nabla \cdot \mu H &\neq 0 \end{aligned}$$

เพื่อที่กำจัดผลเฉลยปลอมดังกล่าวนี้ Koshiba และคณะ ได้ทำการปรับปรุงนิพจน์แปรผันตามสมการ (2.30) โดยเพิ่มพจน์ที่อยู่ในรูปความหนาแน่นฟลักซ์แม่เหล็กให้กับนิพจน์แปรผันตามสมการ (2.30) ซึ่งทำให้ได้นิพจน์แปรผัน $\tilde{F}(H)$ ดังนี้

$$F(H) = F + \frac{P^2}{\mu_r} \iint_{\Omega} (\nabla \cdot \mu_r H)^* (\nabla \cdot \mu_r H) d\Omega \quad (2.33)$$

โดยที่ $\frac{P^2}{\mu_r} \iint_{\Omega} (\nabla \cdot \mu_r H)^* (\nabla \cdot \mu_r H) d\Omega$ คือ พจน์พินอลดี

p คือ สัมประสิทธิ์พินอลดี เป็นค่าคงที่

นิพจน์แปรผันจากสมการ (2.33) สามารถกำจัดผลเฉลยปลอมที่เชื่อม S_1 และ S_2 ได้ อย่างไรก็ตามผลเฉลย S_3 ที่มีคุณลักษณะดังสมการ

$$\nabla \times H = 0, \nabla \cdot \mu H \neq 0 \text{ เมื่อ } k_0^2 > 0 \quad (2.34)$$

สามารถเกิดขึ้นได้ โดยผลเฉลยปอดมเทียม S_3 ที่เกิดขึ้นสอดคล้องกับสมการต่อไปนี้

$$\mu H = \nabla \phi \quad (2.35a)$$

$$(p^2 \nabla^2 + k_0^2) \phi = 0 \quad (2.35b)$$

$$\frac{\partial \phi}{\partial n} = 0 \text{ บนตัวนำไฟฟ้าสมบูรณ์แบบ (perfect electric conductor) } \Gamma_e \quad (2.35c)$$

$$\phi = 0 \text{ บนตัวนำแม่เหล็กสมบูรณ์แบบ (perfect magnetic conductor) } \Gamma_m \quad (2.35d)$$

โดยที่ ϕ คือ ฟังก์ชันสเกลาร์ (scalar function)

เมื่อแทน ϕ ในสมการ (2.35) ด้วย H_z พบว่า ผลเฉลยปอดมเทียม S_3 ที่เกิดขึ้นจะสอดคล้องกับโหมดทีอี (TE mode) ของท่อนำคลื่นที่บรรจุด้วยไดอิเล็กตริกที่มีสภาพยอมสัมพัทธ์เท่ากับ $(1/p)^2$ และผลเฉลยปอดมเทียม S_3 นี้จะอยู่ในช่วง $\beta/k_0 < 1/p S_3$ เท่านั้น

จากที่กล่าวมาว่าวิธีไฟไนต์อีลิเมนต์แบ่งภาคตัดขวางของท่อนำคลื่นออกเป็นอีลิเมนต์ย่อยรูปสามเหลี่ยม และให้ค่าขอบทดลองของสนามแม่เหล็ก โดยที่ในแต่ละอีลิเมนต์อยู่ในรูปของ

$$H = [N] \{H\}_e \exp(-j\beta z) \quad (2.36)$$

$$[N] = \begin{bmatrix} \{N\}^T & \{0\}^T & \{0\}^T \\ \{0\}^T & \{N\}^T & \{0\}^T \\ \{0\}^T & \{0\}^T & \{0\}^T \end{bmatrix} \quad (2.37)$$

$$\{H\}_e = \begin{bmatrix} \{H_x\}_e \\ \{H_y\}_e \\ \{H_z\}_e \end{bmatrix} \quad (2.38)$$

เมื่อ

β คือค่าคงตัวเฟส

$[N]$ คือ เมทริกซ์ฟังก์ชันรูปร่างของค่าตอบทดลองของสนามแม่เหล็กในทิศ x, y และ z
 $\{H\}$, คือเมทริกซ์แถวตั้งที่องค์ประกอบคือสนามแม่เหล็กที่โนดของอีลีเมนต์ในทิศ x, y

และ z

T คือตัวดำเนินการสลับเปลี่ยน

แทนสมการ (2.36) ในสมการ (2.33) และรวมทุกอีลีเมนต์ทั้งหมดบนภาคตัดขวางของ
 ท่อนำคลื่นเข้าด้วยกัน ได้นิพจน์แปรผันที่สามารถเขียนได้ดังสมการ

$$F(H) = \{H\}^T ([S] + p^2[L] - k_0^2[M])\{H\} \quad (2.39)$$

$$[S] = [T]^* [\epsilon_r]^{-1} [T]^T \quad (2.40)$$

$$[L] = \begin{bmatrix} [L_{xx}] & [L_{xy}] & [L_{xz}] \\ [L_{yx}] & [L_{yy}] & [L_{yz}] \\ [L_{zx}] & [L_{zy}] & [L_{zz}] \end{bmatrix} \quad (2.41)$$

$$[M] = \begin{bmatrix} [M_{xx}] & [M_{xy}] & [M_{xz}] \\ [M_{yx}] & [M_{yy}] & [M_{yz}] \\ [M_{zx}] & [M_{zy}] & [M_{zz}] \end{bmatrix} \quad (2.42)$$

เมื่อ $\{H\}$ คือสนามแม่เหล็กที่โนดทั้งหมดบนภาคตัดขวางของท่อนำคลื่น เมทริกซ์
 $[S], [L]$ และ $[M]$ เป็นเมทริกซ์เฮอร์มิเชียน (hermitian matrix)

คุณลักษณะการแพร่กระจายของท่อนำคลื่นสามารถหาได้จากการพิจารณาจุดต่ำสุดของ
 สมการ (2.33) ซึ่งยังผลให้ได้สมการที่อยู่ในรูปเมทริกซ์เจาะจงที่มี k_0^2 เป็นค่าเจาะจงดังนี้

$$[S]\{H\} + p^2[L]\{H\} - k_0^2[M]\{H\} = \{0\} \quad (2.43)$$

สมการ (2.43) สามารถเขียนให้อยู่ในรูปของปัญหาค่าเฉพาะมาตรฐาน (standard eigenvalue problem) ได้เป็น

$$[M]^{-1}([S] + p^2[L])\{H\} - k_0^2\{H\} = 0 \quad (2.44)$$
